

## I-106 有限帶板法によるトラストプレートの応力解析

岩手大学工学部	学生員 村上 康裕
岩手大学工学部	正員 岩崎 正二
日本大学生産工学部	正員 能町 純雄
岩手大学工学部	正員 宮本 裕

## 1. まえがき

本論文の目的は、帯板要素偶点の境界値を考慮した有限帶板要素公式を導き、この公式を用いてトラストプレートの変位及び断面力分布を求め、トラストプレートの弾性挙動を明らかにしようとするものである。

## 2. 解析理論

2. 1 有限帶板要素公式 相対する2辺が単純支持、他の2辺がトラスで支持されている解析モデルを考える(図-1)。有限帶板法による解析では、対象とする床版部分をn個の帯板要素に分割し、力学的にこれを再構成し解析を行なう。図-2に示すような長さ $\ell$ 、幅b、厚さhの任意の帯板要素において、x、y、z方向の変位をu、v、w、y方向たわみ角をθとする。r辺、r+1辺の節線力を{Q<sub>r,r+1</sub>, M<sub>r,r+1</sub>, Q<sub>r+1,r</sub>, M<sub>r+1,r</sub>}<sup>T</sup>、{T<sub>r,r+1</sub>, S<sub>r,r+1</sub>, T<sub>r+1,r</sub>, S<sub>r+1,r</sub>}<sup>T</sup>で表わし、これらの節線力に対応する節線変位を{w<sub>r</sub>, θ<sub>r</sub>, w<sub>r+1</sub>, θ<sub>r+1</sub>}<sup>T</sup>、{u<sub>r</sub>, v<sub>r</sub>, u<sub>r+1</sub>, v<sub>r+1</sub>}<sup>T</sup>とする。面内変形に対するつりあい方程式に、ガラーキン法を適用し、断面力とひずみとの関係よりxに関する線形連立偏微分方程式を求め、この式に有限フーリエ変換を施すと次式が求まる。面外力については、参考文献<sup>11</sup>を参照されたい。

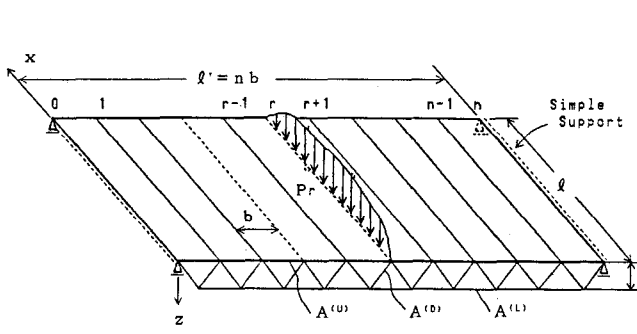


図-1 トラス支持床版構造

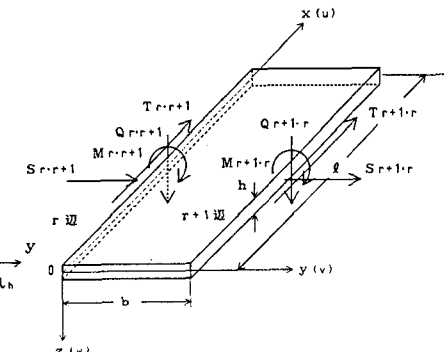


図-2 帯板要素の局所座標

$$\begin{aligned}
 \begin{Bmatrix} C_m[T_{r,r+1}] \\ S_m[S_{r,r+1}] \\ C_m[T_{r+1,r}] \\ S_m[S_{r+1,r}] \end{Bmatrix} &= \begin{Bmatrix} t_{11} & t_{12} & t_{13} & t_{14} \\ & t_{22} - t_{14} & t_{24} \\ Sym. & & t_{11} - t_{12} \\ & & t_{22} \end{Bmatrix} \begin{Bmatrix} C_m[u_r] \\ S_m[v_r] \\ C_m[u_{r+1}] \\ S_m[v_{r+1}] \end{Bmatrix} \\
 &= \begin{Bmatrix} u_{11} & u_{12} & u_{13} & u_{14} \\ 0 & u_{22} & 0 & u_{24} \\ u_{13} - u_{14} & u_{11} - u_{12} & & \\ 0 & u_{24} & 0 & u_{22} \end{Bmatrix} \begin{Bmatrix} \dot{u}_r^0 \\ \dot{v}_r^0 \\ \dot{u}_{r+1}^0 \\ \dot{v}_{r+1}^0 \end{Bmatrix} + (-1)^m \begin{Bmatrix} u_{11} & u_{12} & u_{13} & u_{14} \\ 0 & u_{22} & 0 & u_{24} \\ u_{13} - u_{14} & u_{11} - u_{12} & & \\ 0 & u_{24} & 0 & u_{22} \end{Bmatrix} \begin{Bmatrix} \dot{u}_r^{\theta} \\ \dot{v}_r^{\theta} \\ \dot{u}_{r+1}^{\theta} \\ \dot{v}_{r+1}^{\theta} \end{Bmatrix} \quad (1)
 \end{aligned}$$

ここで、C<sub>m</sub>[T<sub>r,r+1</sub>]及びS<sub>m</sub>[S<sub>r,r+1</sub>]は以下のように表わされ、他もこれに準ずる。

$$C_m[T_{r,r+1}] = \int_0^{\ell} T_{r,r+1}(x) \cos \frac{m\pi}{\ell} x \, dx, \quad S_m[S_{r,r+1}] = \int_0^{\ell} S_{r,r+1}(x) \sin \frac{m\pi}{\ell} x \, dx$$

$$\begin{aligned} t_{11} &= \frac{bN}{3}\alpha^2 + \frac{Gh}{b}, \quad t_{12} = (\frac{\nu N}{2} - \frac{Gh}{2})\alpha, \quad t_{13} = \frac{bN}{6}\alpha^2 - \frac{Gh}{b}, \quad t_{14} = -(\frac{\nu N}{2} + \frac{Gh}{2})\alpha \\ t_{22} &= \frac{Ghb}{3}\alpha^2 + \frac{N}{b}, \quad t_{24} = \frac{Ghb}{6}\alpha^2 - \frac{N}{b}, \quad u_{11} = -\frac{bN}{3}, \quad u_{12} = \frac{\nu N}{2} - \frac{Gh}{2}, \quad u_{13} = -\frac{bN}{6} \\ u_{14} &= -(\frac{\nu N}{2} + \frac{Gh}{2}), \quad u_{22} = \frac{Ghb}{3}\alpha, \quad u_{24} = \frac{Ghb}{6}\alpha, \quad N = \frac{Eh}{1-\nu^2}, \quad \alpha = \frac{m\pi}{\ell} \end{aligned}$$

2. 2 つりあい方程式と境界条件  $r$  辺に垂直荷重  $P_r$  が作用しているときの各節線力のつりあい式は次のようになる。

$$\left. \begin{aligned} S_m[Q_{r+r+1}] + S_m[Q_{r+r-1}] &= P_r \\ S_m[M_{r+r+1}] + S_m[M_{r+r-1}] &= 0 \end{aligned} \right\} \quad (2) \quad \left. \begin{aligned} C_m[T_{r+r+1}] + C_m[T_{r+r-1}] &= 0 \\ S_m[S_{r+r+1}] + S_m[S_{r+r-1}] &= 0 \end{aligned} \right\} \quad (3)$$

また、境界条件は境界辺の  $r$  点において次式が成立立つものとする。

$$\frac{\partial^2 w}{\partial y^2} \Big|_{r+r-1} = \frac{\partial^2 w}{\partial y^2} \Big|_{r+r+1} \quad (4) \quad \frac{1}{2} (T_x^{r+r-1} + T_x^{r+r+1}) = 0 \quad (7)$$

$$\frac{1}{2} (M_x^{r+r-1} + M_x^{r+r+1}) = 0 \quad (5) \quad \frac{1}{2} (S_{xy}^{r+r-1} + S_{xy}^{r+r+1}) = \frac{H_r}{b} \quad (8)$$

$$\frac{1}{2} (R_x^{r+r-1} + R_x^{r+r+1}) = \frac{V_r}{b} \quad (6)$$

$M_x$ 、 $R_x$ は境界辺でのモーメントと等価せん断力、 $T_x$ 、 $S_{xy}$ はそれぞれ境界辺での  $x$  方向の垂直力と  $y$  方向のせん断力を表わす。 $H_r$ 、 $V_r$ はトラスから生ずる  $y$  方向、 $z$  方向の未知節点反力を表わす。

2. 3 解式 等分布荷重が作用した場合、式(4)、(5)、(7)の境界条件を考慮して式(2)、(3)のつりあい方程式を、フーリエ定理と変換により解くと下式が得られる。

$$\left. \begin{aligned} S_i[w_r] &= g_1(i, x) S_i[w_r^0] + f_1(i, x) S_i[P_r] \\ R_i[\theta_r] &= g_2(i, x) S_i[w_r^0] + f_2(i, x) S_i[P_r] \end{aligned} \right\} \quad (9) \quad \left. \begin{aligned} S_i[u_r] &= h_1(i, x) R_i[v_r^0] \\ R_i[v_r] &= h_2(i, x) R_i[v_r^0] \end{aligned} \right\} \quad (10)$$

ここで  $S_i[w_r] = \sum_{r=1}^{n-1} w_r \sin \frac{i\pi}{n} r$ ,  $R_i[\theta_r] = \sum_{r=1}^{n-1} \theta_r \cos \frac{i\pi}{n} r + \frac{1}{2} (-1)^i \theta_n + \frac{1}{2} \theta_0$ ,

他もこれに準ずる。 $w_r^0$ 、 $v_r^0$ は  $x = 0$  の境界辺における  $r$  点での変位を表わす。

式(9)を式(6)に、式(10)を式(8)に代入すると、未知の境界変位が次式のように表わされる。

$$\left. \begin{aligned} S_i[w_r^0] &= a_{11}(i) S_i[P_r] + b_{11}(i) S_i[V_r] \\ R_i[v_r^0] &= c_{11}(i) C_i[H_r] \end{aligned} \right\} \quad (11)$$

この板の境界変位とトラスの変位が等しいと置くことにより、 $C_i[H_r]$  と  $S_i[V_r]$  を求めることができる。

### 3. 数値計算例

図-3は等分布荷重載荷時の周辺単純支持床版とトラス支持床版のたわみの違いを調べたもので、 $r = 10$  ( $y = \ell'/2$ ) に沿う  $x$  方向のたわみ分布をトラス部材の断面積を変化させ計算したものである。

数値計算に用いた数値は次の通りである。

$$\begin{aligned} \ell &= \ell' = 20\text{m}, q = 0.01\text{kgf/cm}^2, \nu = 0.3, \\ A^{(u)} &= A^{(l)} = A^{(D)} = 25, 50, 75, 100\text{cm}^2, \\ h &= 10\text{cm}, \lambda_h = 50\text{cm}, E = 2.1 \times 10^6 \text{kg/cm}^2, \\ m &= 100\text{項}, 分割数 } n = 20, w = \alpha (q \ell'^4 / D) \end{aligned}$$

### 参考文献

- 1) 岩崎正二、能町純雄、木田哲量：有限要素法によるランガードプレートの応力解析、構造工学論文集、Vol. 35A (1989年3月) pp. 203~212

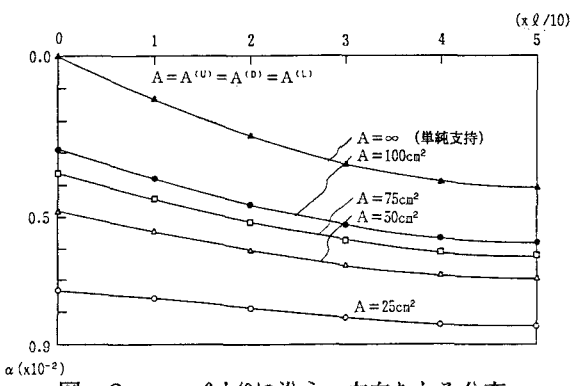


図-3  $y = \ell'/2$  に沿う  $x$  方向たわみ分布